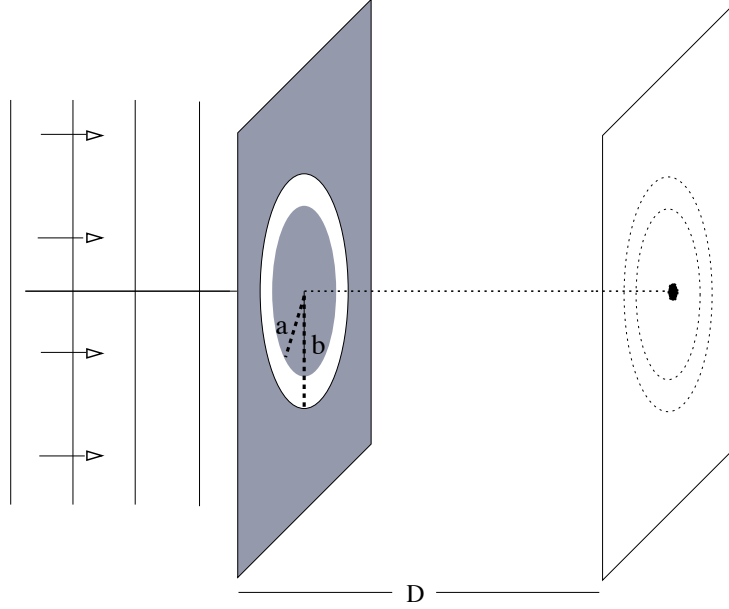


## Gabarito da 2ª Prova – Eletromagnetismo II

**Q1 [6.0]** – Uma onda plana monocromática incide em um anteparo no qual foi recortado um anel de raio interno  $a$  e raio externo  $b$  (veja figura abaixo). A onda difratada é projetada numa tela paralela ao plano do obstáculo, a uma distância  $D$  muito grande do plano do anel ( $D \gg b$ ).



(a) Calcule a intensidade da luz difratada que é projetada na *origem* do anteparo. **(3.0)**

Nesse problema é evidente que, devido às simetrias, devemos usar coordenadas polares:  $\{r', \phi'\}$  para o plano do anteparo, e  $\{r, \phi\}$  para o plano da tela. Usando a integral de difração de Fresnel-Kirchhoff no caso de *incidência normal*, e usando a simetria polar do problema (como o padrão é independente do ângulo  $\phi$  em torno do ponto central, podemos escolher  $\phi = 0$ , e assim  $x = r$ ) temos:

$$\begin{aligned}
 \psi(\vec{x}_\perp; Z_0) &\simeq \frac{-ik\psi_0}{2\pi} \frac{e^{ikZ_0}}{Z_0} \int_\sigma dS' e^{ik(\vec{x}'_\perp - \vec{x}_\perp)^2/2Z_0} \\
 &= \frac{-ik\psi_0}{2\pi} \frac{e^{ikZ_0}}{Z_0} \int_a^b dr' r' \int_0^{2\pi} d\phi' e^{ik[(r' \cos \phi' - r)^2 + (r' \sin \phi')^2]/2Z_0} \\
 &= \frac{-ik\psi_0}{2\pi} \frac{e^{ikZ_0}}{Z_0} \int_a^b dr' r' \int_0^{2\pi} d\phi' e^{ik[r^2 + r'^2 - 2rr' \cos \phi']/2Z_0} \\
 &= \frac{-ik\psi_0}{2\pi} \frac{e^{ikZ_0}}{Z_0} e^{ikr^2/2Z_0} \int_a^b dr' r' e^{ikr'^2/2Z_0} \int_0^{2\pi} d\phi' e^{-ikrr' \cos \phi'/Z_0}
 \end{aligned}$$

Agora use o formulário para ver que a integral em  $\phi'$  resulta numa função de Bessel. Temos então:

$$\begin{aligned}
 \psi(\vec{x}_\perp; Z_0) &\simeq \frac{-ik\psi_0}{2\pi} \frac{e^{ikZ_0}}{Z_0} e^{ikr^2/2Z_0} \int_a^b dr' r' e^{ikr'^2/2Z_0} 2\pi J_0\left(\frac{kr r'}{Z_0}\right) \\
 \Rightarrow \psi(\vec{0}; Z_0) &= -ik\psi_0 \frac{e^{ikZ_0}}{Z_0} e^{ikr^2/2Z_0} \int_a^b dr' r' e^{ikr'^2/2Z_0},
 \end{aligned} \tag{1}$$

onde na última linha usamos a propriedade (do formulário) que  $J_0(0) = 1$ . Essa última integral é trivial, usando que  $\int dx x e^{ax^2} = (1/2) \int d(x^2) e^{ax^2} = (1/2a)e^{ax^2}$ . Obtemos assim, após um pouquinho de álgebra:

$$\psi(\vec{x}_\perp; Z_0) \simeq \frac{\psi_0^2}{2} \left[ 1 - \cos\left(\frac{k(b^2 - a^2)}{2Z_0}\right) \right].$$

(b) Considere agora que  $b - a = \delta \ll a$  - ou seja, um anel muito fino. Encontre a expressão para a intensidade da luz como função do raio  $r$  desde a origem da tela, considerando  $r \gg a$ . **(3.0)**

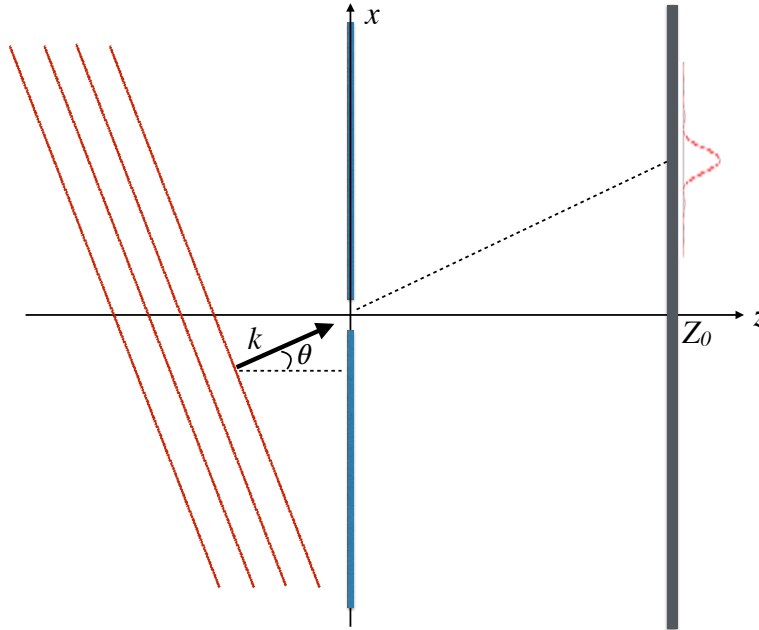
Podemos integrar a Eq. (1) acima diretamente, na aproximação de  $\delta$  muito pequeno. Temos:

$$\begin{aligned} \psi(\vec{x}_\perp; Z_0) &\simeq -ik\psi_0 \frac{e^{ikZ_0} e^{ikr^2/2Z_0}}{Z_0} \times \int_a^b dr' r' e^{ikr'^2/2Z_0} J_0\left(\frac{kr r'}{Z_0}\right) \\ &\simeq -ik\psi_0 \frac{e^{ikZ_0} e^{ikr^2/2Z_0}}{Z_0} \times \delta \times a e^{ika^2/2Z_0} J_0\left(\frac{kra}{Z_0}\right), \end{aligned}$$

onde usamos que  $\int_x^{x+\delta x} f(x) \simeq \delta_x f(x)$ . Portanto, a intensidade num ponto  $r$  qualquer no anteparo será:

$$I = |\psi(r)|^2 \simeq \psi_0^2 \left(\frac{k\delta a}{Z_0}\right)^2 J_0^2\left(\frac{kra}{Z_0}\right).$$

**Q2 [4.0]** – Uma onda plana monocromática incide com um ângulo  $\theta$  sobre um anteparo que ocupa o plano  $z = 0$  (veja a figura abaixo). Essa onda plana tem a expressão  $\psi_I = \psi_0 e^{i(k_x x + k_z z)}$ , com  $k_x = k \sin \theta$  e  $k_z = k \cos \theta$ . Ao redor da origem ( $x = y = 0$ ) há uma abertura no anteparo, de formato  $S_0$ .



Mostre que o padrão de difração projetado numa tela a uma distância  $Z_0$  fica deslocado na direção  $x$  de uma distância  $Z_0 \sin \theta$ . Se em algum momento você achar conveniente, pode utilizar a aproximação de Fraunhofer.

Nesse problema você deve começar da integral original de Fresnel-Kirchhoff, que consta do formulário. Para encontrar as derivadas da função de Green  $e^{ikR}/R$  com respeito a  $\vec{x}'$  é só lembrar que  $R = |\vec{x}' - \vec{x}|$ . Após alguma álgebra obtemos que:

$$\begin{aligned} \psi(\vec{x}) &= -\frac{1}{4\pi} \int d^2 S' \hat{z} \cdot \left\{ \psi_0 e^{i(k_x x' + k_z z')} \times \frac{\vec{R}}{R^2} \left( ik - \frac{1}{R} \right) e^{ikR} - \frac{e^{ikR}}{R} \times \psi_0 [i(k_x \hat{x} + k_z \hat{z})] e^{i(k_x x' + k_z z')} \right\} \\ &= \frac{-ik\psi_0}{4\pi} \int d^2 S' \frac{Z_0(1 + i/kR) + R \cos \theta}{R^2} e^{i(k_x x' + k_z z')} , \end{aligned}$$

onde usamos o fato de que a integral é feita no anteparo, que está em  $z' = 0$ , e a tela onde o padrão de difração é projetado está a uma distância  $z = Z_0$ .

Neste momento devemos fazer uso do fato que a distância do anteparo à tela é muito grande:

$$R = \sqrt{(x' - x)^2 + (y' - y)^2 + Z_0^2} \simeq Z_0 + \frac{1}{2Z_0} [(x' - x)^2 + (y' - y)^2] + \dots ,$$

e obtemos:

$$\psi(\vec{x}) \simeq \frac{-ik\psi_0}{4\pi} \frac{1 + \cos \theta}{Z_0} \int d^2 S' e^{i\{k x' \sin \theta + k Z_0 + k[(x' - x)^2 + (y' - y)^2]/2Z_0\}} .$$

Podemos puxar a fase  $ikZ_0$  para fora da integral, e o que temos agora é a integral da fase:

$$\begin{aligned} kx' \sin \theta + k \frac{(x' - x)^2 + (y' - y)^2}{2Z_0} &= k \frac{(x' - x)^2 + 2x' Z_0 \sin \theta + (y' - y)^2}{2Z_0} \\ &= k \frac{[x' - (x - Z_0 \sin \theta)]^2 - (Z_0 \sin \theta)^2 + (y' - y)^2}{2Z_0} . \end{aligned}$$

O termo  $(Z_0 \sin \theta)^2$  é uma fase constante, que podemos tirar para fora da integral. Temos, então, finalmente,

$$\psi(\vec{x}) \simeq \frac{-ik\psi_0}{4\pi} \frac{1 + \cos \theta}{Z_0} e^{ikZ_0(1 - \sin^2 \theta / 2)} \int d^2 S' e^{ik\{[x' - (x - Z_0 \sin \theta)]^2 + (y' - y)^2\} / 2Z_0} .$$

Claramente, agora temos na tela o ponto "central" não mais sendo  $x = 0$ , mas  $x = Z_0 \sin \theta$ , e de fato podemos redefinir  $\tilde{x} = x - Z_0 \sin \theta$ , e teríamos:

$$\psi(\tilde{x}, y) \simeq \frac{-ik\psi_0}{4\pi} \frac{1 + \cos \theta}{Z_0} e^{ikZ_0(1 - \sin^2 \theta / 2)} \int d^2 S' e^{ik[(x' - \tilde{x})^2 + (y' - y)^2] / 2Z_0} .$$

Portanto, o padrão de difração é o mesmo que teríamos sob incidência direta ( $\theta = 0$ ), a menos do fato que esse padrão fica deslocado de uma distância  $Z_0 \sin \theta$ , e do fator constante  $1 + \cos \theta$ . Note que, pela figura, é exatamente isso que esperaríamos.

Na aproximação de Fraunhofer o cálculo fica um pouco mais simples, pelo fato de não ser necessário completar os quadrados como feito acima.

## Formulário

- Integral de difração de Fresnel-Kirchhoff:

$$\psi(\vec{x}) = \int_{S_0} d^2 S' \left[ \psi_{in}(\vec{x}') \hat{n}' \cdot \vec{\nabla}' \frac{e^{ikR}}{4\pi R} - \frac{e^{ikR}}{4\pi R} \hat{n}' \cdot \vec{\nabla}' \psi_{in}(\vec{x}') \right] ,$$

onde  $R = |\vec{x}' - \vec{x}|$ .

- Integral de difração de Fresnel-Kirchhoff no caso de *incidência normal*:

$$\psi(\vec{x}_\perp; Z_0) \simeq \frac{-ik\psi_0}{2\pi} \frac{e^{ikZ_0}}{Z_0} \int_{S_0} dS' e^{ik(\vec{x}'_\perp - \vec{x}_\perp)^2 / 2Z_0}$$

- Aproximação de Fraunhofer:  $|xx' + yy'| \gg x'^2 + y'^2$
- Limite de Fresnel:  $|xx' + yy'| \ll x'^2 + y'^2$
- Funções de Bessel:

$$J_n(z) = \frac{i^n}{2\pi} \int_0^{2\pi} d\phi e^{-in\phi} e^{-iz \cos \phi} , \quad \text{e note que } J_0(0) = 1$$